



第二屆和平利用原子能國際會議文獻

原子核物理学及 仪器设备

6

中国科学院原子核科学委员会編輯委員會編

科学出版社出版

原子核物理学及仪器设备 (6)

中国科学院原子核科学委员会编辑委员会编

*

科学出版社出版 (北京朝阳门大街 117 号)
北京市书刊出版业营业登记证字第 061 号

中国科学院印刷厂印刷 新华书店总经售

*

1960 年 10 月第一版 书号 : 2292 字数 : 74,000
1960 年 10 月第一次印刷 开本 : 787 × 1092 1/16
(京) 0001~5000 印张 : 3 1/8

定价 : 0.41 元

目 录

P/52	用硼堆作 $\bar{\nu}$ 的精密测量	(1)
P/660	核裂变的动力学	(7)
P/1086	超子反应	(14)
P/1483	以核乳胶法测定反应堆谱	(17)
P/1881	涉及光学模型的中子截面测量	(25)
P/2426	中子散射共振能级的角动量分布	(35)
P/2519	关于核裂变时碎片的激发能	(44)



用硼堆作 $\bar{\nu}$ 的精密測量*

考尔文(D. W. Colvin)[†]

索威尔貝(M. G. Sowerby)

1. 引言

在作 $\bar{\nu}$ (每次裂变产生的平均中子数目)的絕對測量时，主要的困难在于准确校准中子探测器。現有的标准中子源所固有的不准确性使这些中子源不能用于这种测量工作，而做这项校准工作的任何較好的方法都有一个附加优点，就是能够对(中子)源作更准确的标准化工作。

2. 测量对于裂变中子能譜的探测器的效率这一个問題在这个效率与中子的能量无关时是比较容易解决的。此外，假使这个效率很高，探测器就会给出关于中子多重耦合性(neutron multiplicity)的有用的情报，也会使我們能够在比长期电子迁移(Long term electronic drifts)短的时间內得到在統計上重要的結果。

3. 中子探测器

在中子探测器中，上述察得出与中子能无关的高效率性质應該和低的 γ 射綫灵敏度和良好的偏压曲綫联合起来。一架合适的探测器要包含一块装有 ^{10}B 的良好減速剂(moderator)。快速中子流使得重水減速器和在大气压下的充气計數器的联合使用令人

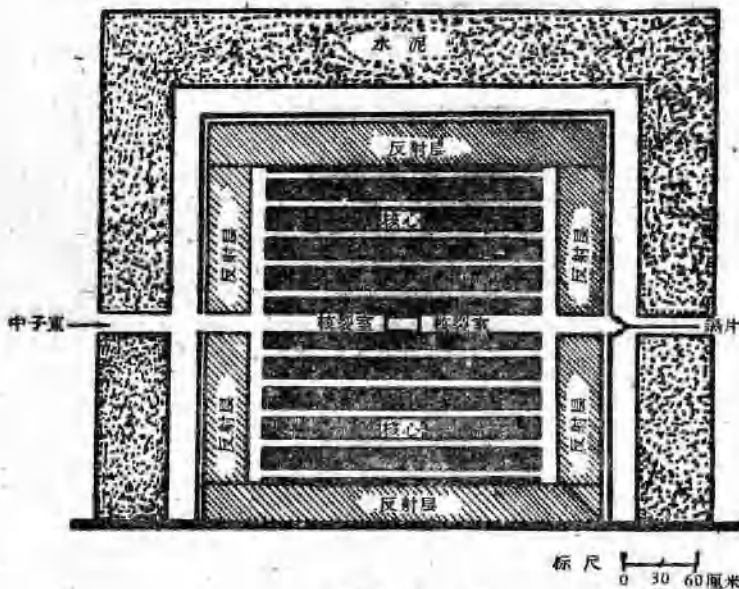


图 1 硼 堆

* “第二届和平利用原子能国际会议”文献編號 A/CONF. 15/P/52. 英國, 1958, 原文为英文。

[†] 哈威爾英國原子能委員會原子能研究中心。

不滿意。目前所謂“砌堆”的探測器(見圖1)包括裝在石墨鑄模中的一列240個¹⁰BF₃正比計數器(proportional counters)。在“原子堆”核心(邊長220厘米的立方體)外圍繞着35厘米厚的石墨反射層，反射層外順序環繞了0.4毫米厚的鎔和61厘米厚的水泥所組成的中子保護層(neutron shield)。原子堆的核心貫穿了一組11×11的孔行列，每個孔的直徑是5.35厘米，孔間距離是20厘米；中央一個孔的直徑是10.1厘米，形狀象一個鎖眼，其餘的孔每個都包含2個¹⁰BF₃正比計數器，這些計數器是由0.025英寸(約0.634毫米)厚的無氧銅製成的，而且由96%加濃的¹⁰BF₃裝滿到70厘米汞柱壓力，它們的有效長度(active length)是107厘米。十條或十一条沿軸金屬線在乾燥的鋁罐中並聯到一個“總放大器”(head amplifier)。在圖2中可以看到第12到第22個箱子，此圖顯出沒有裝保護層的，而頂端和末端的反射層也已拿走的“原子堆”。“總放大器”是裝在右手邊的支架上，在箱子行列的中間也可以看到原子堆的中心孔。各個“總放大器”再並聯到三個主要的放大器上。它們的輸出，經過對噪音的甄別最後聯合成一個輸出。

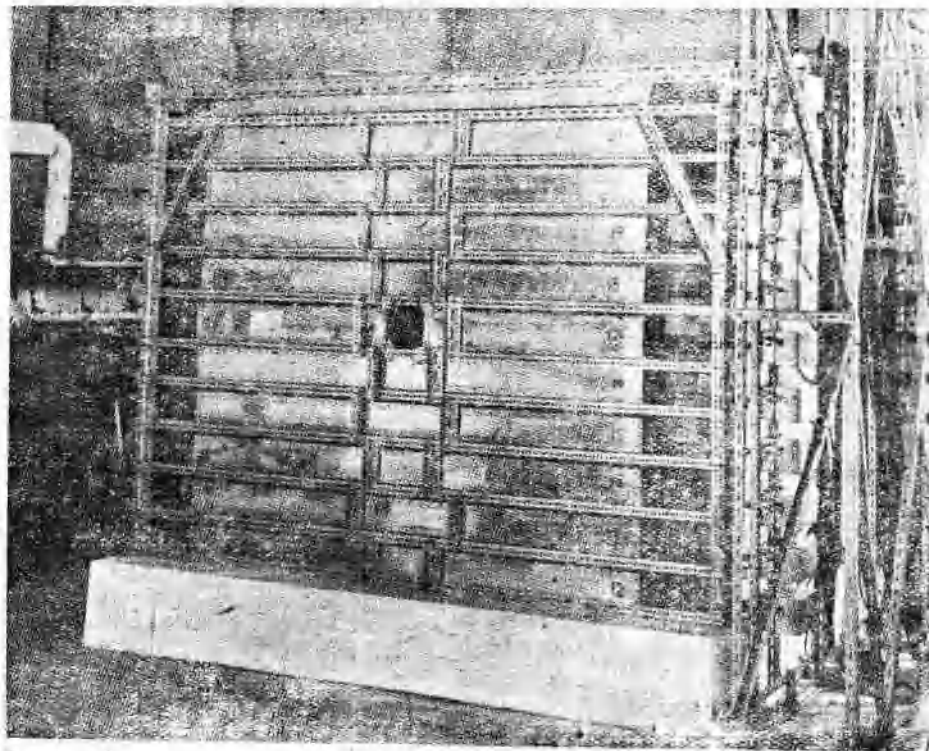


圖 2

4. 對不同的信號波道(signal channels)作適當配比後的這種探測器的積分偏壓曲線如圖3所示。在工作範圍(5到10伏之間)內有0.7%/伏的斜率。因此，由電子起伏(electronic fluctuation)所產生的誤差在0.1%的數量級。當附近產生中子的機器停止作用時，本底計數(background count)是每秒50次，但比較典型的數值是每秒100次。

5. \bar{v} 的測定

測定 \bar{v} 時，要測量每次裂變時所探測到的“即發”中子(prompt neutrons)的數目 \bar{N} 。做這項工作時在“砌堆”的中央放一個核裂變室，而在研究由中子引起的裂變時，用一束準直的

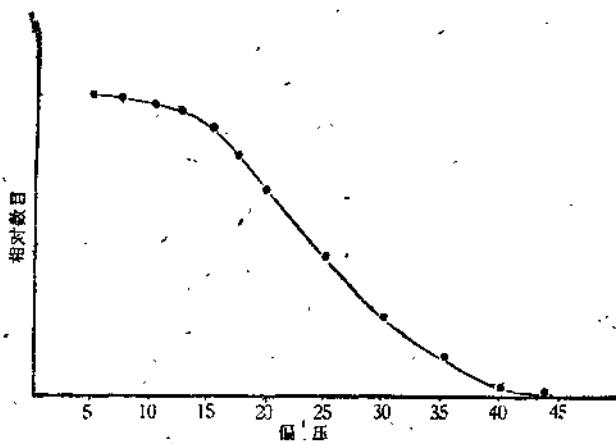


图 3 对于 240 个¹⁰BF₃ 计数器的积分偏压曲线

(平行的) 中子束来轰击此室。为了尽可能减少散射，使中子束在抽空的逸出管 (flight tube) 中通过原子堆。从热反应堆 GLEEP 得到的中子通量是在 100 个中子/厘米²/秒的数量级。

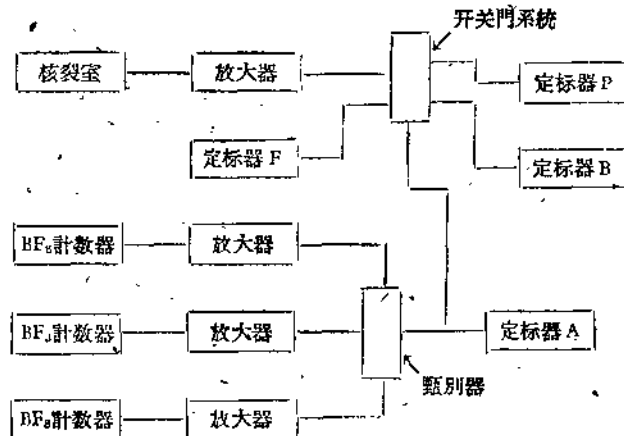


图 4 电子设备的方框图

6. 图 4 显示脉冲选择电子线路 (pulse sorting electronics) 的框图, 所用的“开关系统” (gating system) 可以将本底中子 (background neutrons) 的影响减到最低限度, 而且可以不需要准确测定产生裂变的次数, 一个放大了的裂变脉冲将“即发”门 (“prompt gate”) 打开 1 秒钟, 允许中子脉冲到定标器 P。15 毫秒后, 当所有的裂变中子都被俘获后, 另一个完全相同的门, “本底”门 (background gate) 开了, 而脉冲就记录在定标器 B 上。定标器 F 记录开关的次数, 而定标器 A 记录总的中子计数。假使上述定标器所记录的计数分别是 P, B 和 F, 那末, 每次裂变时计数的中子的平均数目可由下式得出:

$$\bar{R} = (P - B)/F \quad (1)$$

对于(脉冲)交迭的损失必须作一个数量级为 0.5% 的改正而得出 \bar{R}' 的改正数字, \bar{R}' 和 \bar{N} 之间的关系由下式表示;

$$\bar{R}' = \bar{N}(1 - e^{-\frac{\tau}{t}}) \quad (2)$$

式中 τ 是在系統中的中子的平均寿命，对于不同 t 值下 ^{240}Pu 的自发裂变的 \bar{R}' 的測量結果得出 $\tau = 1.22 \pm 0.02$ 毫秒。每次裂变时“即发”中子的数目由下式給出：

$$\bar{\nu}_p = \bar{N}/s \quad (3)$$

式中 ϵ 是效率。用基宾(Keepin)等人的数据^[1]对緩发中子加以改正后就可以从 $\bar{\nu}_p$ 得出 $\bar{\nu}$ 的最終數值。

7. 因为“砌堆”的效率随着中子能的改变很少，而各种元素的裂变中子光譜又是非常相似的^[2]，所以，对于已定的 t ，两种元素的 \bar{R}' 的比值等于 $\bar{\nu}_p$ 的比值，在用下面描述的方法測量 $\bar{\nu}$ 的比值时，使用 4.3 毫秒的“开关时间”(gate lengths)，这样有百分之三的中子是在“关門”以后被俘获。

8. 效率的測量

探测器的效率是利用一种已知 $\bar{\nu}$ 等于 1 的反应，也就是氚的光致蜕变来測量的。測量 \bar{N} 时用的裂变元素和中子束分別由氚和 γ 射線源来替代。光激質子(photo-proton)脉冲开动同样的“开关系統”(gating system)，而光激中子还是用上面的方法来探测。使用一系列的 γ 射線可以使我們在裂变譜所需要的中子能的范围内校准探测器。任何一种 γ 射線都会产生一組拋物綫型分布的中子能，在 γ 射線的 20 兆电子伏的范围内，这种分布的展布的范围(extreme spread)从 20% 变到 27%。

9. 在一个有快速(电子集聚)柵极的，灵敏体积(sensitive volume)为 450 厘米³的电离室中放了以四氯甲烷(即四氯化碳)形式出現的氚；这种电离室在操作时的最大气压可达 80 个大气压。使用甲烷而不用氚可以使产額提高一倍，可以減少“壁效应”(wall effect)，可以避免对阴电性中毒(electronegative poisoning)的异常的灵敏性，还可以容許将电子线路快些切断以免 γ 射線的累积。对每一种 γ 射線能量，室内充气所达到的压強要在既顧到“壁效应”又顧到(γ 射線的)累积之間取得折衷。到目前为止还是使用 ^{24}Na 放出的 γ 射線；在最后測定 \bar{N} 以后，原子堆就移到哈威尔的 5 兆电子伏的范德格喇夫加速器，在那里，当一束聚焦了的質子束射到原子堆中央室内的一个靶子上以后，就会从各种輕元素(p, γ)反应中产生 γ 射線。就这样，中子效率的校准范围可从 26 万电子伏到 770 万电子伏。

10. 由于孔行列的影响，探测器的效率稍許和方向有关；因此，裂变源和光致蜕变源的中子的角向分布應該有所不同，前者是各相同性的而后者是显著地 $\sin^2\theta$ 型，其中 θ 是 γ 射線和光激中子方向間的夹角。将 γ 射線源繞电离室的中心轉移 90°，而且，如果源的强度适当，用一个单独的波道分析器(channel analyses)来选取質子的能量，因而也选取了光激中子的方向(和能量)以后，就可以足够准确地从这种极端的各向异性推导出对于各向同性中子源的探测器效率的准确數值。

11. 初步的結果

效率：用了 ^{24}Na 放出的 γ 射線来照射含有 5 个絕對大气压的氚的遊离室，測定了对于能量約为 260 千电子伏的中子的效率。中子源是替换地放置在遊离室的正下面或在室的末端，所选择的光激質子(光激中子)的能量則大于(小于)平均值，也就是说，中子是显著地在平行或垂直于点陣排列的平面內。对于 10 伏的中子偏压测得的效率是 58.8 ± 0.9 和 $61.7 \pm 1.9\%$ 。到目前为止，所得的結果是由一个未知的外界的电干扰原因所限制。

12. \bar{v} 比值

表 1 給出对于各种元素的裂变，在一个 4.3 毫秒“开关时间”的系統中探测到的中子数；如果裂变是由中子引起的，这些数值可以当作是每秒 2200 米的數值。已經对脉冲交错的损失作了改正。給出的結果是对与上面所說的干扰脉冲的存在有关的中子計数器上的两个偏压而言的。

13. 在工作过程中，裂变室的偏压是在工作值(operating point)的附近改变，但是对 \bar{R}' 并沒有找到可以探测的影响，假使在脉冲的高度和路程方向之間有任何有效的联帶关系，那就可以預計到这种影响，(考慮到效率的各向异性)。假使将偏压作一定数量的提高使得只能探测到 25% 的裂变，那 \bar{R}' 就会有显著的改变，这是由于 \bar{v} 和总的裂变碎片能量(fission fragment energy)之間的关系所产生的結果^[3]。

14. 对于中子引起的裂变，曾經作了一些“无束实验”(no-beam experiment)来显示可以忽略的 α 粒子和乱真脉冲(spurious pulse)。在 ^{239}Pu 的情形，由于箔上的 ^{240}Pu 会产生少量的計数，因而对这一点曾作了一个小量的改正。

15. 曾做了二个实验來証实改正背景(background correction)的步驟。在第一个实验中，从一个沒有入射中子束的裂变室中发出的 α 粒子脉冲在用来开动“开关系統”时，产生的 \bar{R}' 的数值在統計誤差范围内等于零。在第二个实验中，当人为地将中子的背景提高时，对于裂变的 \bar{R}' 没有发现到可以探测的变化。一种“符合技术”(coincidence technique)演示在中子計数器中探测到的“即发”裂变(prompt fission) γ 射線的数目少于 3×10^{-4} /每次裂变。

16. 表 2 給出由表 1 中的結果决定的，并对緩发中子作了改正的 \bar{v} 比值。可以看出从 $\frac{^{235}\text{U} + n}{^{235}\text{U} + n}$ 比值和 $\frac{^{239}\text{Pu} + n}{^{235}\text{U} + n}$ 比值得到的結果和卡利西尼闊娃(Kalishnikova)等人^[4]的記錄是符合得很好的，但是比散德斯(Sanders)^[5]和美国人的記錄^[6]要高一些，虽然并不是不一

表 1 在 4.3 毫秒“开关時間”的系統中探测到的每次裂变的中子数

元 素	中子偏压	\bar{R}'
$^{235}\text{U} + n$	5	1.444 ± 0.007
$^{235}\text{U} + n$	10	1.400 ± 0.014
$^{238}\text{U} + n$	5	1.499 ± 0.009
$^{239}\text{Pu} + n$	10	1.678 ± 0.012
^{240}Pu	5	1.329 ± 0.007
^{240}Pu	10	1.284 ± 0.006

表 2 \bar{v} 比 值

比	本实验的結果	赫恩达尔斯 的结果 ^[6]	卡拉西尼闊娃 的结果 ^[4]	美国人的結果 ^[6]
$\frac{^{235}\text{U} + n}{^{235}\text{U} + n}$	1.034 ± 0.008	1.005 ± 0.015	1.03 ± 0.01	1.02 ± 0.01
$\frac{^{239}\text{Pu} + n}{^{235}\text{U} + n}$	1.196 ± 0.012	1.168 ± 0.022	1.19 ± 0.01	1.17 ± 0.01
$\frac{^{240}\text{Pu}}{^{235}\text{U} + n}$	0.915 ± 0.006			
$\frac{^{239}\text{Pu} + n}{^{240}\text{Pu}}$	1.306 ± 0.011	0.317 ± 0.050	1.33 ± 0.03	
$\frac{^{238}\text{Pu}}{^{235}\text{U} + n}$	1.158 ± 0.013	1.162 ± 0.029	1.15 ± 0.01	1.15 ± 0.01

致,假定 ^{235}U 的 $\bar{\nu} = 2.47 \pm 0.03^{[6]}$,那末,对 ^{239}Pu 的数值就是 2.260 ± 0.036 ,这个結果和狄文(Diven)等人^[7]所給的數值 2.257 ± 0.045 是符合得极好的。

参 考 文 献

- [1] G. R. Keepin, T. F. Wimett and R. K. Zeigler, Delayed Neutrons from fissionable isotopes of Uranium, Plutonium and Thorium, Phys. Rev. **107**, 1044, (1957).
- [2] J. E. S. Bradley, Physics of Nuclear Fission, Pergamon Press, London, (1958).
- [3] T. A. Hicks, J. Ise, Jr., R. V. Pyle, G. Choppin, and B. Harvey, Correlations between the neutron multiplicities and the spontaneous fission modes of ^{252}Cf , Physical Review, **105**, 1507, (1957).
- [4] V. I. Kalashnikova, V. I. Lebedev, L. A. Mikacyan, P. E. Spivak, and V. P. Zakharova, Conf. Acad. Sci. U. S. S. R., Proc. Phys. and Maths. Sect., **156**, (1955).
- [5] J. E. Sanders, A Comparison of the average number of neutrons emitted in the fission of some Uranium and Plutonium isotopes, Journal of Nuclear Energy, **2**, 247, (1956).
J. E. Sanders, Relative neutron yields from induced Fission of ^{239}Pu and Spontaneous Fission of ^{240}Pu , A. E. R. E. Report RP/R 1653, (1955).
- [6] D. J. Hughes and J. A. Harvey, Supplement No. 1 Neutron Cross Sections (BNL 325), Brookhaven National Laboratory, New York, (1957).
- [7] B. C. Diven, H. C. Martin, R. F. Taschek and J. Terrell, Multiplicities of Fission Neutrons, Physical Review, **101**, 1012, (1956).

核裂变的动力学*

希路(D. L. Hill)†

核裂变过程对核理論提出一个強烈的要求。这是由于核物质的不可否認的复杂集体运动已超出壳模型理論范围之外，虽然这些殼模型理論在关联基态及微弱受激原子核的性质上已表明是非常有用的。关于大大地变形的核的理論对了解裂变作用提供了一些帮助，但是远远不够提供一个裂变理論。即使对所有可設想的形变來說，关于整个核系統及各个粒子能級的形变能都已知道，所得到的知識也受到它仅适用于靜态形状的体系这一事实的限制。靜态体系的性质可能完全被在运动中的核物质的动力学效应所掩盖。

所以，核裂变理論的一个首要的任务必然是把这些动力学效应明确起来并作出計算，这是在数学及理論上都相当复杂的一項任务。我們的方法是从一个模型开始，这模型要能提供可接受的兼有易于处理而又接近似自然本質的优点，要能作出預測，然后通过較为成竹在胸的途径对它們作出我們所能作的精炼。這一篇短文的用意是概述這一計劃中所應遵循的方法并引用一些主要的物理概念。

核的液滴模型正好作为一个符合我們的要求的开头的模型。动力学特点，对一个具有均匀体积电荷及定值表面能量或“表面張力”的明显表面。在无旋流动中的不可压缩流体來說，可以很容易地探求。此外，除容易处理而外，这一模型在所有它主要特点上都是我們对重原子核所具知識的一个很好的近似。所假定的均匀体积电荷是与快电子散射分析的結果^[1]，即均匀内部电荷密度及在表面处的陡然降落，相适合的。对实验及理論的綜覽指出，在原子核中中子密度及质子密度是很接近于正比的；这一事实支持了模型所假定的恒值质量密度，而从实验和理論所发見的体积压缩的高模量也同样給以支持。无旋流动表征着一种流体的运动特点，这流体以最低的动能按照加于其表面上的运动而流动，所以无旋流动也許适用于低能量裂变，特別是适用于在“馬鞍点形状”附近的关键决定性运动，这个形状是介乎求近于球体的形状及自动破裂形状之間的形状。（必須注意，从轉动状态的分析所推导出的慣性矩不与无旋流动一致。当我们討論集体模型时，我們將回到这一問題）。所假定的定值表面張力对近似球体的形状在表面上是說得通的，但是对剧烈变形的形状來說，这可能是这个模型的最弱而无力的假定。

这个模型的运动是用从起始形状（或者近于球形，或者近于馬鞍点形状）及起始速度开始接时间求积分来跟踪察考的。可接受的速度限于与表面振子的状态相符合的，这些状态在球体附近是由一个軸对称的核体系的表面矢量數值的极坐标式中 a_i 的量子化所确定的，这个式子是

$$R(\mu) = R_0 \left[1 + \sum_{i=1}^N a_i P_i(\mu) \right], \quad (1)$$

* “第二屆重子物理学讨论会”文献編號 A/CONF. 15/P/660，美国 1958，原文为英文。

† 美国加尼福利亚大学洛斯阿拉莫斯 (Los Alamos) 科学实验室。

其中 $P_l(\mu)$ 是 $\mu = \cos\theta$ 的勒让德(Legendre)多项式。(这里的 a_1 不代表一个独立的振荡，而是用来使联系着 a_3, a_5, \dots 的运动的动量守恒的。象 U^{235} 这样一个原子核中粒子的有

限数目要求 N 不大于 ~ 6 。) 加速度是由一个质量密度为 M ，非粘滞的不可压缩流体的欧拉运动方程

$$M \frac{d\vec{v}}{dt} = -\nabla(U + P) \quad (2)$$

所确定，式中的 U 是每单位体积的静电势， P 是流体中的压强。

对这一方程进行积分的程序可在几行中写完，这就部分地说明模型的容易处理。这就便利了转换为圆柱坐标的工作，取 z 沿对称轴，取 ρ 与之垂直，并用下两式来描写表面：

$$z_p = B_0 + \sum_{i=1}^N B_i \cos \hat{\theta}_p; \quad \rho_p = \sum_{i=1}^N A_i \cos \hat{\theta}_p, \quad (3)$$

其中，如在图 1 中所示，

$$\hat{\theta}_p = \pi \int_{P_1}^p ds / \int_{P_1}^{P_2} ds, \quad (4)$$

当形状是球状时，化为普通的欧几里得角 θ 。无旋流动中的速度场可表为

$$\vec{v} = -\nabla\varphi, \quad \varphi = \sum_{l=0}^N C_l B_l(\rho, z), \quad (5)$$

其中函数 $B_l(\rho, z)$ 为拉普拉斯(Laplace)方程 $\nabla^2 B_l(\rho, z)$ 的解所给的 l 级的齐次多项式。那么量

$$H = U + P + \frac{1}{2} M v^2 \quad (6)$$

也满足拉普拉斯方程，并由

$$H = \sum_{l=0}^N b_l B_l(\rho, z) \quad (7)$$

表示。结果 b_l 的意义是

$$\frac{\partial c_l}{\partial t} = b_l, \quad (8)$$

因而方程(2)的积分可如下得出：求得体系的起始($t = 0$)形状的 b_l 的数值，计算速度场及在一个小时间隔 Δt 后的表面形状，又求得 b_l ，如此作下去直至运动已求到所希望的程度。为求得 b_l 的数值，我们使下一积分在体系表面上成最小值，

$$\int (H - H_t)^2 dS \rightarrow \text{最小}, \quad (9)$$

其中 H 为方程(7)所给， H_t 为方程(6)所给， $z = z(\hat{\theta})$ 及 $\rho = \rho(\hat{\theta})$ 为方程(3)所给。在这里压强的数值是

$$\rho(\hat{\theta}_t) = OK(\hat{\theta}_t), \quad (10)$$

O 是表面張力, $K(\theta)$ 是在 $\hat{\theta} = \hat{\theta}_i$ 处表面的曲率;而在一些变换之后,每单位体积的静电势为下式所给出:

$$U(\hat{\theta}_i) = 2\rho_e^2 \int_0^{\pi} \frac{\rho_m}{g_{jm}} \{ [\rho'_m(z_m - z_i) - z'_m(\rho_m + \rho_i)] K(k_{jm}^2) + \rho_i z'_m D(k_{jm}^2) \} d\hat{\theta}_m, \quad (11)$$

其中 ρ_e 是电荷的体积密度,撇号表記对 $\hat{\theta}_m$ 取微商,

$$\begin{aligned} g_{jm}^2 &= (z_m - z_i)^2 + (\rho_m + \rho_i)^2, \\ k_{jm}^2 &= 4\rho_m \rho_i / g_{jm}^2, \end{aligned} \quad (12)$$

$$K(k_{jm}^2) = \int_0^{\frac{\pi}{2}} (1 - k_{jm}^2 \sin^2 \varphi)^{-\frac{1}{2}} d\varphi,$$

及

$$D(k_{jm}^2) = \int_0^{\frac{\pi}{2}} \frac{\sin^2 \varphi d\varphi}{(1 - k_{jm}^2 \sin^2 \varphi)^{1/2}}. \quad (13)$$

在图 2 中示出对 U^{235} 利用这一方法所作的一个計算举例, 所跟踪的运动是由一个起始的球体到一个正在分开的形状。这一情况仅相于大数量的开始对称激发, 即对垂直于柱对称軸的中間平面是对称的运动。它表明, 对純对称运动來說, 核物质的可观数量是存在于两分端之間的中間区域或頸部。因为这里所表的核为 235 个粒子所組成, 所示的詳細表面, 特別是那伸得最长的形状, 对实在的核不能有直接的解释。但是, 所示的結果确意味着, 对下面所講由运动的非对称部分而来的效应在其中受到偶然抑制的那些少数裂变作为來說, 是有走向三分甚至四分的裂变的趋势。虽然在图 2 的情況中在頸部的物质的大部分在分开之前已流到两端, 在分开形状的頸部中仍被拘留的物质大約有一个 α 粒子的质量, 这就使我們回忆起三分裂变的最常見的形状^[2], 它也暗示給我們一个实验会发見在三分裂变中所发射的两个重裂块的质量比值接近于一。

自然, 如图 2 中所作对运动的非对称方式的抑制不过是一个人为的限制。我們知道非对称运动必然存在, 至少要到非对称表面振子的零点激发的数量級。对鉛來說, 最低級的非对称运动有并非很少的零点激发 1.4 兆电子伏, 而运动的高級非对称方式中存在着較大数量的能量。显然, 把这不可避免的非对称激发加在图 2 所示的純对称运动上将有重要的效应。沿着伸長模型的頸部来回跑的非对称激发波将趋向于使体系的一个非对称的分裂在頸部所含大量核物质有机会流出之前发生, 这是与图 2 的情況截然不同。采用一个对称和非对称激发的正常混合所作的計算証实了这一預期。为了得到这一模型所預告的质量分布, 要求用相对于最低級对称运动來說是最低級非对称运动的周相各有不同的起始条件进行一些計算。我們假定在对称与非对称运动的周相間有无規的关系, 并对結果作一平均以得出相应于这假定的无規情况的质量分布。在这模型的結構中作一个完全的計算將涉及具有从所有合理出現的运动的对称及非对称方式而起的分运动的起始条件。

当裂块分离之际, 它們是从球状高度地变形了, 因此它們具有可观的激发能。在这模型中这个能量容易計算, 就是表面能及庫仑能之和減去这些能量在球状时的数值所给出。这个激发能的結果数值与中子蒸发的統計模型合用起来就使有可能預告相應于裂变的各种方式的中子发射的多重性。

包括在上面概述的計算方法中尚有能力求得所有形变的模型的形变能。这些形变能

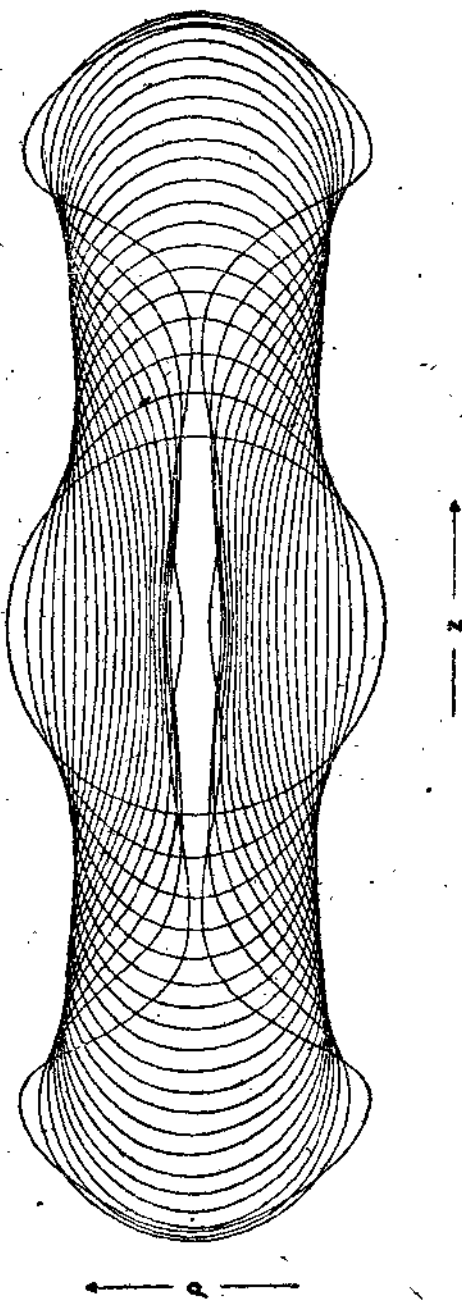
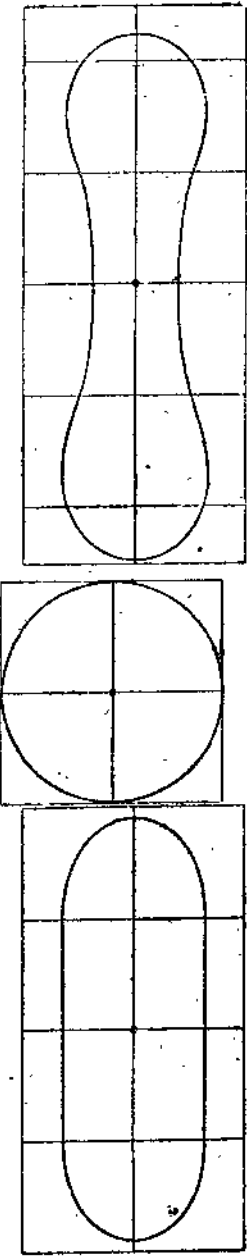
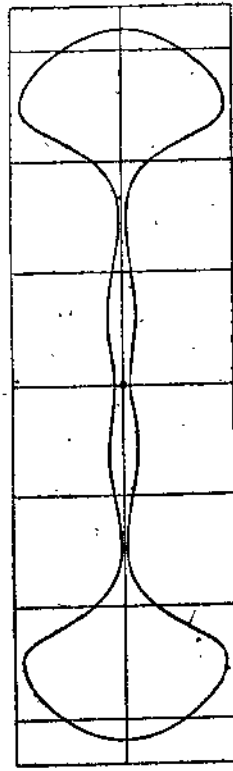


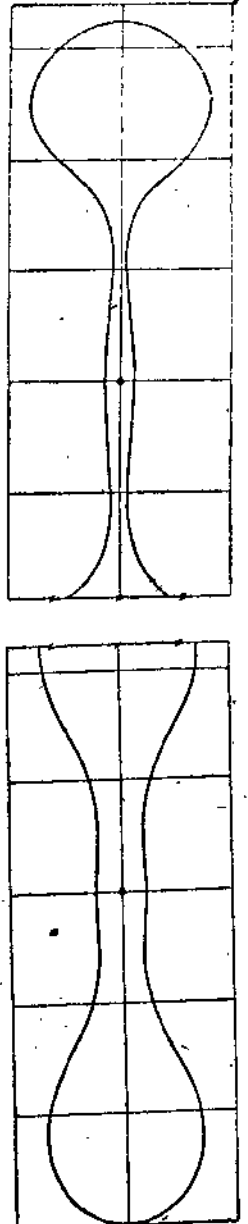
图 2 所示是对从球状开始具有纯对称的速度分布的运动流液体模型的表面所呈递次相继的形状。在这组合图中从一个形状过渡到粗略的形状用了二十级的时间积分。为了清楚起见，从这一组合图中选出一些有代表性的形状，另行分开画出。我对 Glean Carter 在计算机所增的计算中的有价值的帮助以及他在制图中的帮助表示谢意。



$t = 0$ $t = 25$ $t = 50$



$t = 75$



$t = 75$ $t = 95$ $t = 100$ —折斷前的一瞬

而已与 W. J. Swiatecki^[3] 采用級数展开技巧所独立地求得的結果相比較，他的結果指出引向裂变的途径的多重性，这些途径中至少有一部分和分成多于两个裂块的裂变相連系着。

液滴模型很容易用来計算与自发裂变相連系着的穿透因數。为此必須求得确定液滴形状的參量空間的度量。这个度量是为計算穿透积分所需要的，且是通过如方程(5)所述借 c_1 来确定速度場及如方程(1)所述借 α_1 来指明体系的形状而求得的。其步驟是直接了当的，但是麻煩的，詳情将不在这儿給出。穿透裂变的勢壘^[2]在正能量裂变及自发裂变中都有重要的效应。但是，有一种建議認為勢壘穿透是核裂变的不对称性的原因^[4]，并經不起分析^[2]。这一結論已为近来关于自发裂变的質量分布的数据^[5]所証实，这些数据指明自发裂变的質量分布与为低能量中子激发所引起的越壘裂变的質量分布是很相似的。这两个質量分布的有趣的相似看来最合理的是把它了解为来自对穿透过勢壘及越过壘上两种裂变都相同的动力效应。

我們現在扼要地叙述当較精确的模型被用来研究裂变时引起的几个特点。最简单形式的集体模型保留了液滴的明确表面，但考慮到組成体系的核子們的各个能級。各不同的粒子状态是由不同的量子数，因此就是由节点密度的不同的空間配置而区分的。所以，不同的能級是以不同的方式来响应表面的变形。对一个处于基态的原子核來說，所有各个粒子能級都被填滿直到已填的最高一級，在这以上所有的态都是空的。变形所引起的能級的交错混杂有如下的結局效应：当形变发生时，如粒子状态不改变，则形变所需的能量远大于液滴模型所近似的局面，在这局面中对于每一形状核子們都是处在最低可能达到的能級中。正在变形的原子核中的核子們能够重新調整以在一切时都留在最低可能状态中的難易程度是与在能級之間有效的相互作用的数目有关的。对表面的高度不規則形状來說，这些扰变是最大的，而对一个平滑的对称形变來說，它們是最小的。所以我們立刻有如下的一个有趣的結論：那些通过高度不規則形状而伸长的原子核，比那些以一个較对称的方式来振蕩的且因而在能量上許可的形变振幅大受限制的原子核來，有較大的机会达成裂变。在一个很快变形的体系中各个能級自然不是明显确定的，但是这里所述的定性結論仍似乎有效。

分析^[6]指出，在对集体运动的一个本身一致的處理中必須包括运动的轉動方式。对液滴中的无旋流动來說我們是被迫作出表面轉動在低能量裂变中不能起重要作用的結論。但是，对集体模型來說，我們就被导至一种訛謬，即由于在原子核内部可能存在著反轉动流动，表面的轉動运动即使在一个低能量低自旋的体系中也可以是重要的。所以我們必須承認一种可能性，即轉動运动在裂变的勢壘的动力学定义中是重要的。简单估計指出，即使是核表面的和緩轉動对质量分开的方式也可以有重大的效应。在这种情况下为使体系的自旋守恆所需的反轉動的內部流动似乎可能与中能量裂变所給裂块的在相反方向的大自旋有关系。

当集体模型被进一步加以精炼，以包括作用于簡單集体模型所假定的平均共同势阱之上的核子間的剩余力时，一个立刻明显的結果就是使在一个变形中的原子核中核子能級的重新調整容易一些。能級重新調整的速率的定量計算是当裂变理論通过这些較复杂的切合实际的模型的分析而发展时所必須完成的早期工作中的一个。

参 考 文 献

- [1] Hill, D. L., Matter and Charge Distribution within Atomic Nuclei, Encyclopedia of Physics, Volume 39, Springer-Verlag, Berlin, (1957).
- [2] Hill, D. L., and Wheeler, J. A., Nuclear Constitution and the Interpretation of Fission Phenomena, Phys. Rev. 89:1102—45, (1953).
- [3] Swiatecki, W. J., (Univ. of California, Berkeley), 私人通信。
- [4] Frenkel, J., On Some Features of the Process of Fission in Heavy Nuclei, Journal of Physics, USSR, 10: 533—39, (1946).
- [5] Glendenin, L. E., and Steinberg, E. P., Fission Yields in Spontaneous Fission of Cf²⁵², J. Inorganic and Nuclear Chemistry, 1:45—48 (1955).
- [6] Nagata, S., Tamagaki, R., Amai, S., and Marmori, T., On the Collective Mode of Internal Motion of the Nucleus to be Coupled with the Irrotational Surface Motion, (已交稿)我对这些供給我發表前文稿的作者表示謝意。
- [7] Steinberg, E. P., (Univ. of Chicago), 人道信。

超子反應*

普雷托(F. E. Prieto)[†]

1. 近几年來提出了關於元粒子的一些模型的建議，認為有些所謂元粒子實際上並不是沒有內部結構，而是由一些真正的元粒子組合形成。我們可以稱它們為基本元粒子。直到現在，所提出的關於元粒子的各種複合模型都有一個共同特點，即假定各種核子（質子，中子，反質子，反中子）是基本元粒子。我們現在提出一個模型，在這個模型里以前的假定被減弱，使得中子及反中子不再是基本元粒子而是複合的粒子。

2. 我們將假定基本元粒子是質子 p ，反質子 \bar{p} ，以及中性和荷電的 K ，介子 K^0, \bar{K}^0, K^+, K^- 。現在再引用一個複式假設，即所有其他的元粒子都按照下述兩個定則由這些基本元粒子的種種結合形成：

3. A) 兩個基本元粒子或複合粒子，當且僅當它們不是完全等同的而且至少它們中的一個具有不等於零的奇异数，才可以結合成為另外一個複合粒子。

4. B) 除質量外複合粒子所有其他性質將是其組成粒子的對應性質的代數和。

5. 表 I 裏明出已知的元粒子按照這個模型應有的結構。

表 I 元粒子的 $p-K$ 型結構

粒 子	結 构	粒 子	結 构
π^+	K^+K^0	Σ^+	$p\bar{K}^0$
π^-	K^-K^0	A^0	pK^-
$\pi^0(\pi^*)$	$K^0\bar{K}^0$	n	pK^0K^-
$\pi^0(\pi^x)$	K^+K^-	Ξ^0	$p\bar{K}^0K^-$
		Ξ^-	pK^-K^-
		$\Sigma^0(A^0*)$	$pK^-K^0\bar{K}^0$
		$\Sigma^0(A^0x)$	$pK^-K^+K^-$
		Σ^{*0}	$pK^0K^-K^-$

6. 應當注意到 $K^0\bar{K}^0$ 及 K^+K^- 的組合與 π^0 完全相同；它們的所有性質都等於零，而按照引用的結合法則，它們可以和任一其他奇异数不為零的基本元或複合粒子相結合而形成新的複合粒子，這個新的複合粒子將與原來的粒子具有完全相同的性質。我們可以設想這個新的複合粒子是原來粒子的某種激發態，同時我們稱組合 $K^0\bar{K}^0$ 及 K^+K^- 為激發偶。那些被 $K^0\bar{K}^0$ 組合激發的粒子，我們用右上角標 * 表示；那些被 K^+K^- 組合激發的粒子，我們用右上角標 x 表示。二重，三重，等等激發的可能性並不被排除，這些態將表以 **， *x, xx, 等等。

7. 我們現在要提出，在本文中所建議的元粒子的複合模型的體系之內，超子反應被解

* * “第二屆和平利用原子能國際會議”文獻編號 A/CONF. 15/P/1086 墨西哥，1958，原文為英文。

† 墨西哥大學國立科學研究所。